

Experimento 4 - Velocidade do Som

• Introdução

Onda sonora é definida como qualquer onda longitudinal, ou seja, que possuem a mesma direção de vibração da sua trajetória. A trajetória dessa onda implica que há uma velocidade envolvida que depende de algumas propriedades como comprimento de onda λ e frequência f , dadas pela seguinte equação

$$v = \lambda \cdot f \quad (1)$$

Neste experimento, ao emitir som na entrada de um tubo de arúlico cuja frequência é conhecida, algumas ondas sonoras estacionárias podem ser produzidas. Como existe um antinó na extremidade aberta e um nó na extremidade fechada, o modo mais simples (no caso geral) de se obter frequências de ressonância de um tubo de comprimento L com uma extremidade aberta e outra fechada é dado por

$$\lambda = \frac{4L}{n}, \text{ para } n = 1, 3, 5, \dots \quad (2)$$

Assim, somente os harmônicos ímpares podem existir nesse tipo de tubo. Combunado o valor do comprimento L e a frequência f é possível determinar o respetivo comprimento de onda λ e ainda combinar com qual velocidade v vibra

/ /

ondas sonoras viajam. O objetivo do experimento, então, será determinar a velocidade do som no ar e a frequência de vibração de um diapasão desconhecido.

• Metodologia

Lista de material:

- Tubo de aúlico transparente com extremidade móvel;
- microfone;
- Amplificador;
- Fone de ouvido;
- Conjunto de cinco diapasones (4 com frequências conhecidas e um com frequência desconhecida);
- Termômetro ($\pm 0,5^\circ\text{C}$);
- Martelo de borracha;
- Fita ($\pm 0,005\text{ m}$)
- Giroscópio de frequência ($\pm 1\text{ Hz}$)

Procedimento Experimental:

Posicionou-se o diapasão de modo que ele vibrasse num plano vertical sobre a extremidade aberta do tubo. Variando a posição da extremidade com o auxílio de um imã, vibrou-se o diapasão com o martelo de borracha. Excluindo acidentes, variou-se a posição da extremidade móvel do tubo procurando um primeiro nível para o qual ocorria o máximo da intensidade do sinal (resonância). Em seguida, localizou-se a

tílibra

posição da intensidade máxima e mais proximamente possível que foi identificado por A_1 . O comprimento do tubo foi aumentado até localizar um segundo nível A_2 de ressonância, e assim por diante até toda a extensão do tubo. Os valores foram colocados em tabelas para realização das análises.

• Resultados e Discussão

a) Desprezando as medidas das extremidades para cada diapason, determine os comprimentos de onda dos sons examinados, registrando esses valores também na respectiva tabela.

Utilizando a equação (2) calculou-se os valores de comprimento da onda λ que estão na última coluna de cada tabela.

Tabela 1 – Pontos de encontro para freqüência de 425,99 Hz.

n	L_1 (m) ± 0,005	L_2 (m) ± 0,005	L_3 (m) ± 0,005	L médio	Erro da média	λ (m)
1	0,175	0,185	0,184	0,181	0,007	0,724
3	0,582	0,589	0,587	0,586	0,006	0,781
5	0,997	0,991	0,992	0,993	0,006	0,794

Tabela 2 – Pontos de encontro para freqüência de 376,34 Hz.

n	L_1 (m) ± 0,005	L_2 (m) ± 0,005	L_3 (m) ± 0,005	L médio	Erro da média	λ (m)
1	0,212	0,205	0,204	0,207	0,007	0,828
3	0,665	0,663	0,659	0,662	0,006	0,883
5	1,111	1,119	1,117	1,116	0,007	0,893

Tabela 5 – Pontos de encontro para freqüência de 479,30 Hz.

n	L ₁ (m) ± 0,005	L ₂ (m) ± 0,005	L ₃ (m) ± 0,005	L médio	Erro da média	λ (m)
1	0,162	0,161	0,163	0,162	0,005	0,648
3	0,521	0,522	0,520	0,521	0,005	0,695
5	0,872	0,877	0,879	0,876	0,006	0,701

Tabela 4 – Pontos de encontro para freqüência de 525,06 Hz.

n	L ₁ (m) ± 0,005	L ₂ (m) ± 0,005	L ₃ (m) ± 0,005	L médio	Erro da média	λ (m)
1	0,140	0,141	0,141	0,141	0,005	0,564
3	0,469	0,471	0,477	0,472	0,006	0,629
5	0,800	0,799	0,801	0,800	0,005	0,640

b) Porque as medidas das extremidades devem ser desprazadas?

As medidas das extremidades são desprazadas pelo fato de que as ondas ali presentes não apresentam ressonância, mas somente as ondas que se distribuem ao longo do tubo de aurílico.

c) Utilizando as freqüências conhecidas dos diapasões e os resultados anteriores, determine a velocidade do som e sua média.

→ Para isso, utilizei o valor médio de cada comprimento de onda para as diferentes freqüências.

Tabela 5 – Velocidade do som para cada freqüência utilizada

Freqüência (Hz)	Velocidade do Som (m/s)
425,99	326,45
376,34	326,66
479,30	326,56
525,06	320,81

Valor médio: 325,12 m/s

d) Determine graficamente a velocidade do som no ar.
Qual é o gráfico que deve ser montado?

Pela equação (1), substituindo l por $4L/n$, chega-se em uma equação para extrair diretamente a velocidade.

$$V = \frac{4L}{n} f \quad (3)$$

Desse modo, constituindo um gráfico de $4Lf$ versus n , o coeficiente angular da equação da reta será então o valor da velocidade do som.

A tabela a seguir apresenta os valores de m que equivalem à velocidade do som V .

Tabela 6 – Velocidade do som para cada freqüência utilizada encontrada graficamente pelo coeficiente angular $v = 4Lf/n$

Freqüência (Hz)	Velocidade do Som (m/s)
425,99	345,9
376,34	342,7
479,30	342,2
525,06	346,0

Valor médio= 344,20 m/s

/ /

e) Discussão dos resultados dos itens c) e d)

Comparando os resultados obtidos pelo método direto (aplicação da equação) e graficamente, os que foram obtidos por este último foram mais precisos e próximos do valor esperado para $T = 20^\circ\text{C}$ que era de $v = 343 \text{ m/s}$. (um desvio de 0,35%, considerável pelo fato de que a 24°C a velocidade do som seu maior que o valor de literatura, ou seja, são valores precisos e válidos). Como para o método gráfico os pontos foram todos distribuídos e não se trabalhou com valor médio, o procedimento foi mais preciso.

f) Determine a frequência do diapasão de frequência desconhecida

→ Utilizou-se a velocidade do som $v = 344,20 \text{ m/s}$, $\lambda = 5 \text{ L} = 0,650 \text{ m}$

→ Através da equação 3 isolando f chega-se em:

$$f = \frac{\nu n}{4L} \quad (4)$$

Distância L (m)					
n	Medida 1	Medida 2	Medida 3	Média	Erro da média
1	0,118	0,126	0,119	0,121	0,007
3	0,398	0,389	0,381	0,39	0,01
5	0,657	0,656	0,639	0,65	0,01

Logo, a frequência encontrada foi de $f = 661,92 \text{ Hz}$

g) Determinar velocidade do som a 0°C .

Com $V(T) = 325,12 \text{ m/s}$

$$V_0 = \frac{325,12}{\sqrt{1 + 24/273}} \Rightarrow V_0 = 311,7 \text{ m/s}$$

Com $V(T) = 344,20 \text{ m/s}$

$$V_0 = \frac{344,20}{\sqrt{1 + 24/273}} \Rightarrow V_0 = 330,01 \text{ m/s}$$

Para $V(T) = 344,20 \text{ m/s}$ chegou-se no valor esperado de $V = 330 \text{ m/s}$, enquanto que para $V(T) = 325,12 \text{ m/s}$ o valor foi extritamente menor, tratando-se de um valor cuja velocidade foi obtida por um método menos preciso.

h) Demonstração da equação (2)

$$\lambda = 4L \rightsquigarrow \text{modo mais simples}$$

$$\lambda = 4L/3 \rightsquigarrow 2^{\text{o}} \text{ modo mais simples}$$

$$\text{Logo} \Rightarrow L = \frac{3\lambda}{4} = \frac{\lambda}{4} + \frac{n\lambda}{2}$$

/ /

$$L = \frac{1}{4} + 2n\lambda$$

$$L = \frac{1}{4}(2n+1)$$

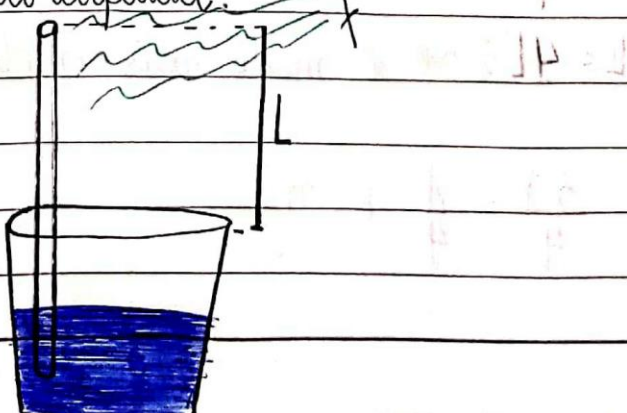
∴ $\lambda = \frac{4L}{2n+1}$ admite apenas números ímpares,
Logo:

$$\lambda = \frac{4L}{n}$$

com $n=1, 3, 5, \dots$

i) Uma forma simples, limpa e mais barata de realizar este experimento

- balde com água com cano de PVC, cujo comprimento da coluna de ar pode ser variado facilmente possibilitando detectar os pontos de ressonância.
- Cis diapasons são substituídas por um programa de computador que gera áudios
- Através do som produzido, a uma determinada frequência, é possível variar o comprimento da coluna de ar até um valor total que ocorra a ressonância devido à reflexão das ondas na superfície líquida.



• Conclusão

O objetivo do experimento foi concluído e pode-se assim estudar os fenômenos envolvidos por trás da propagação de ondas mecânicas sonoras. Os valores encontrados de velocidade do som foram próximos da esperado, e tratando de um experimento prático, possíveis erros sistemáticos são inerentes, entretanto, não invalidam o procedimento.

• Referências

- HALLIDAY. Fundamentos de Física, volume 2 : Gravitação, ondas e termodinâmica ; 9º edição, Rio de Janeiro - LTC, 2013
- SILVA, Wilton. Previsão da vt d. Velocidade do som no ar: um experimento casinho com microcomputador e balde d'água. Rev. Bras. Ensino Fís., São Paulo, v.25, n.1, p. f1-f0, 2003.

Gráfico 1- Frequência de 425,99 Hz

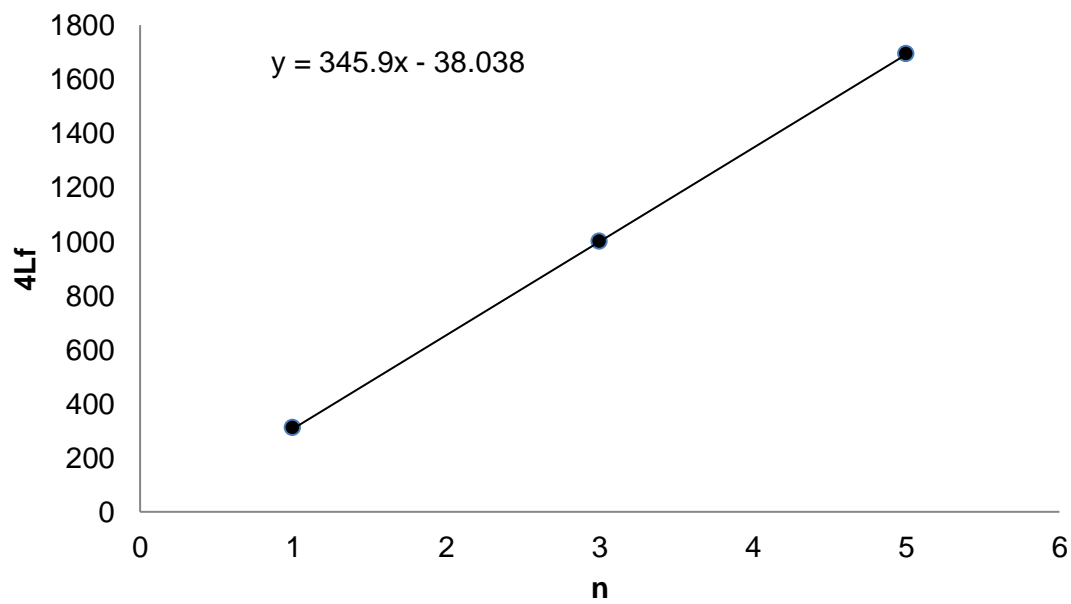


Gráfico 2- Freqüência de 376,34 Hz

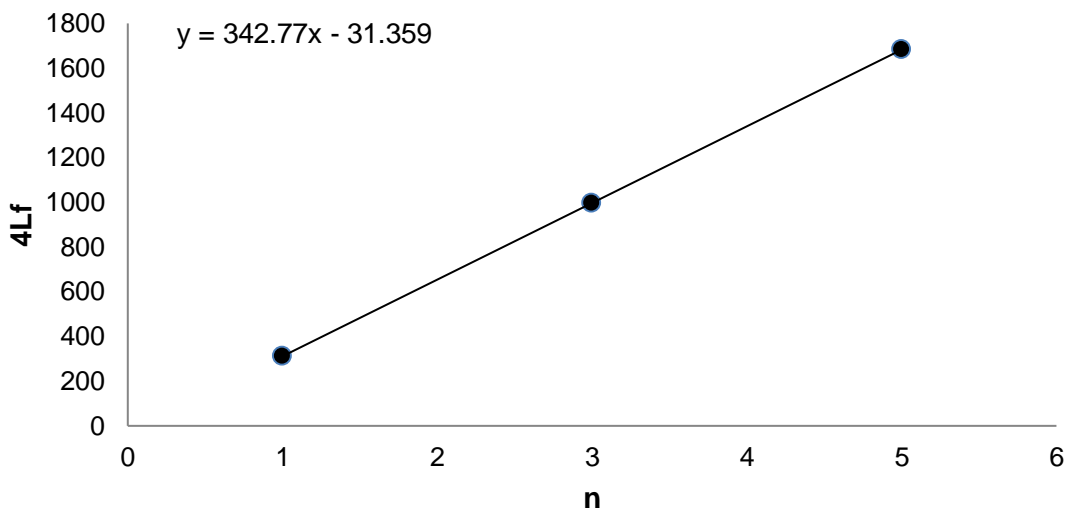


Gráfico 3- Freqüência de 479,30 Hz

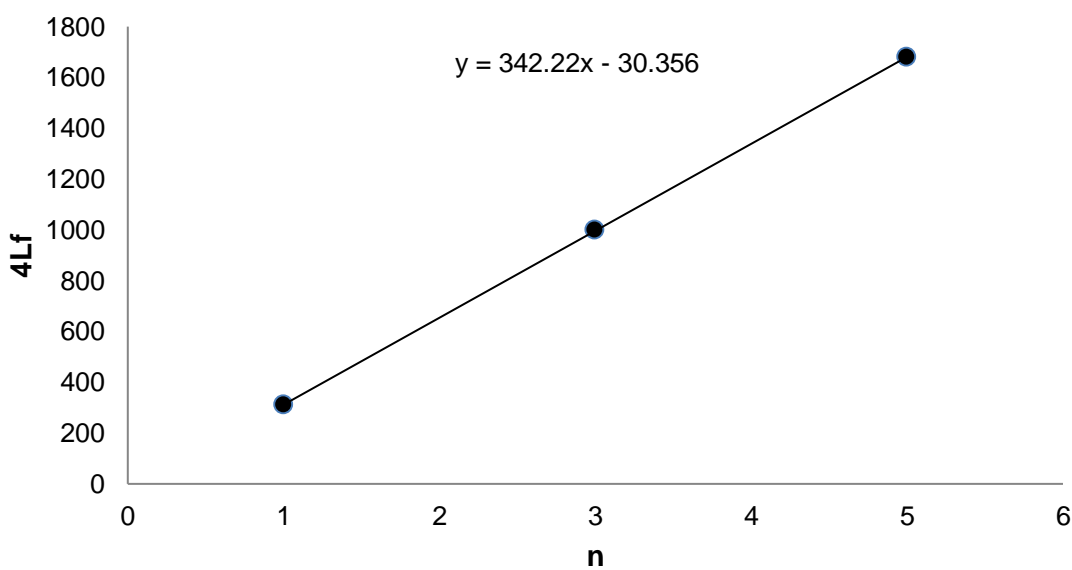


Gráfico 4- Freqüência de 525,06 Hz

